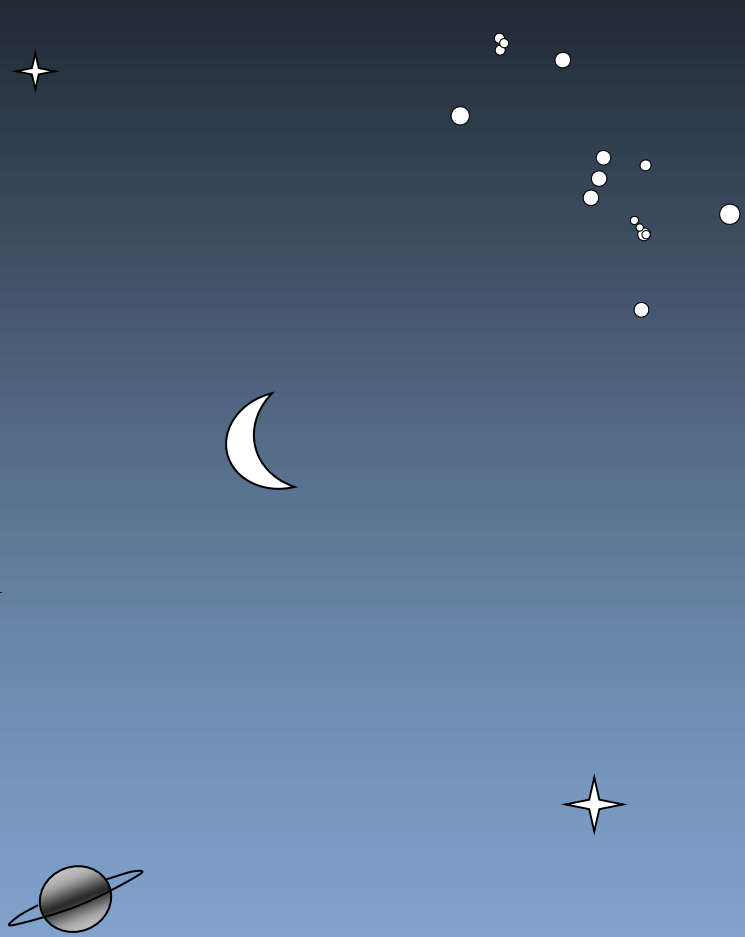
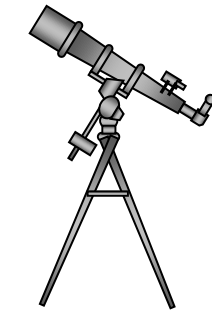


### 3.1.3 STERNE UND IHRE PLANETEN



**ASTRONOMIE  
WAHLFACH**



**STERNENTWICKLUNG**

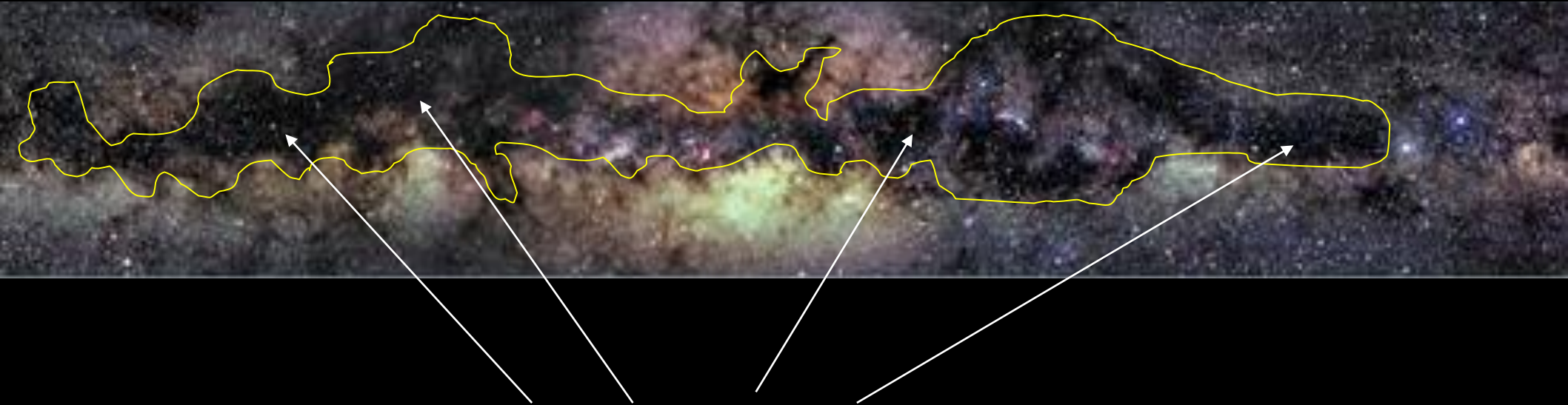
Grafiken: S. Hanssen

## 1. STERNENTSTEHUNG



Bild: „Multiwavelength Milky Way Images“ NASA via [https://asd.gsfc.nasa.gov/archive/mwmw/mmw\\_images.html](https://asd.gsfc.nasa.gov/archive/mwmw/mmw_images.html) [Public Domain (PD-USGov)]

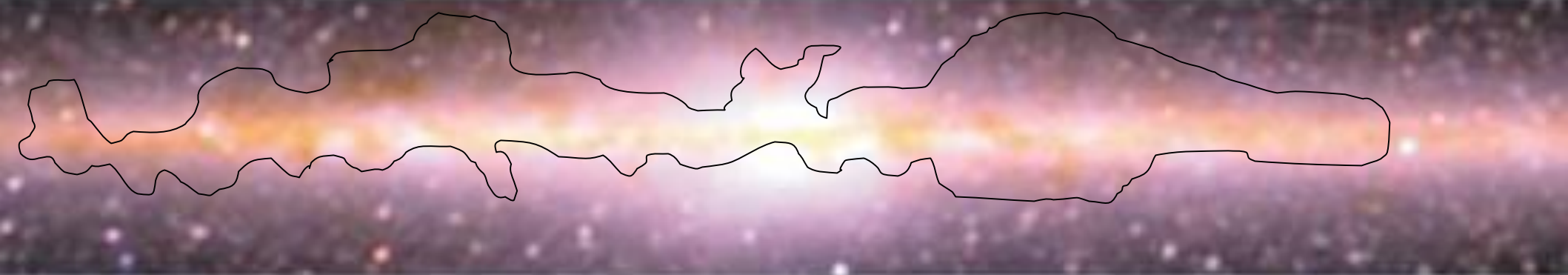
## 1. STERNENTSTEHUNG



## Gas- und Staubwolken

Bild: „Multiwavelength Milky Way Images“ NASA via [https://asd.gsfc.nasa.gov/archive/mwmw/mmw\\_images.html](https://asd.gsfc.nasa.gov/archive/mwmw/mmw_images.html) [Public Domain (PD-USGov)]

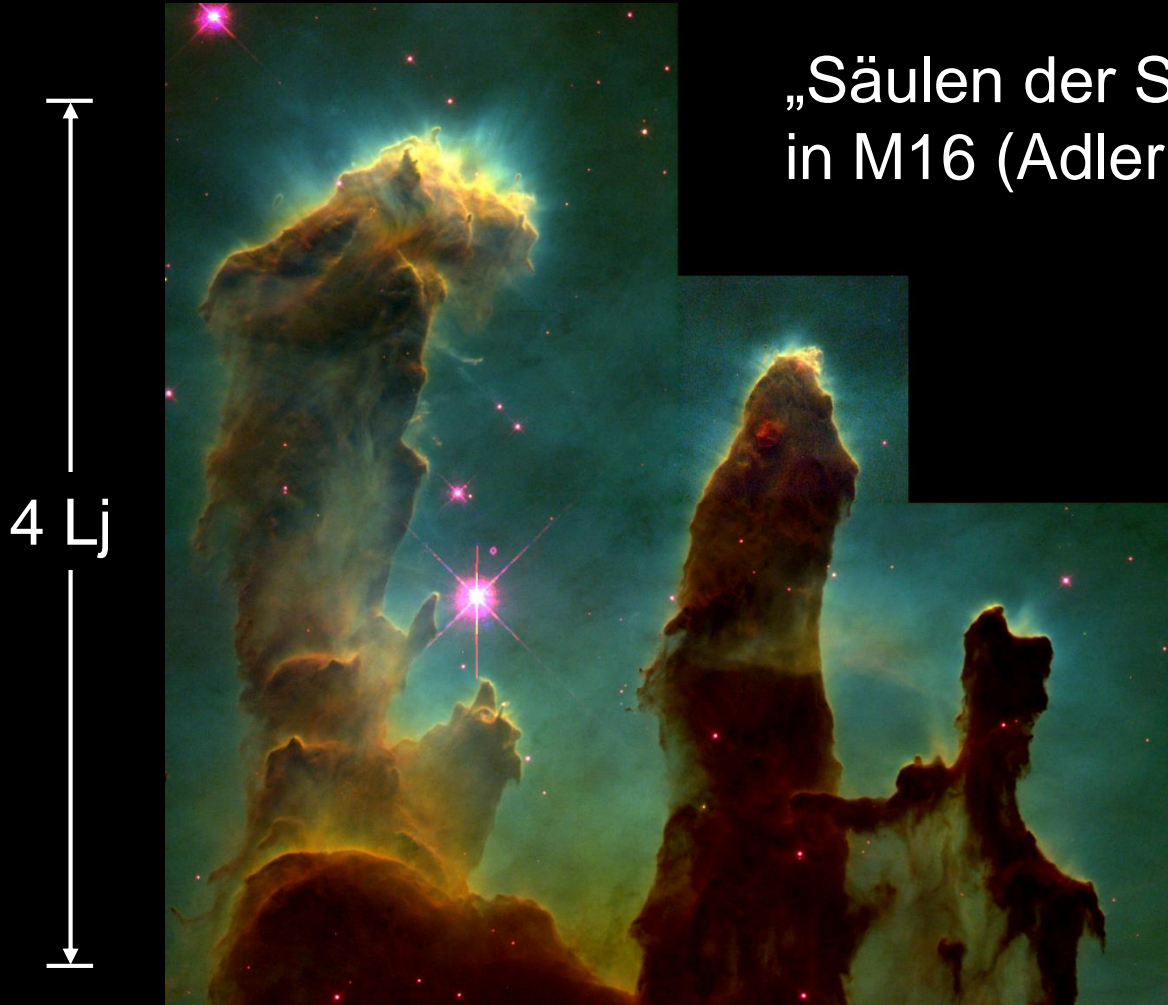
## 1. STERNENTSTEHUNG



Infrarot

Bild: „Multiwavelength Milky Way Images“ NASA via [https://asd.gsfc.nasa.gov/archive/mwmw/mmw\\_images.html](https://asd.gsfc.nasa.gov/archive/mwmw/mmw_images.html) [Public Domain (PD-USGov)]

## 1. STERNENTSTEHUNG

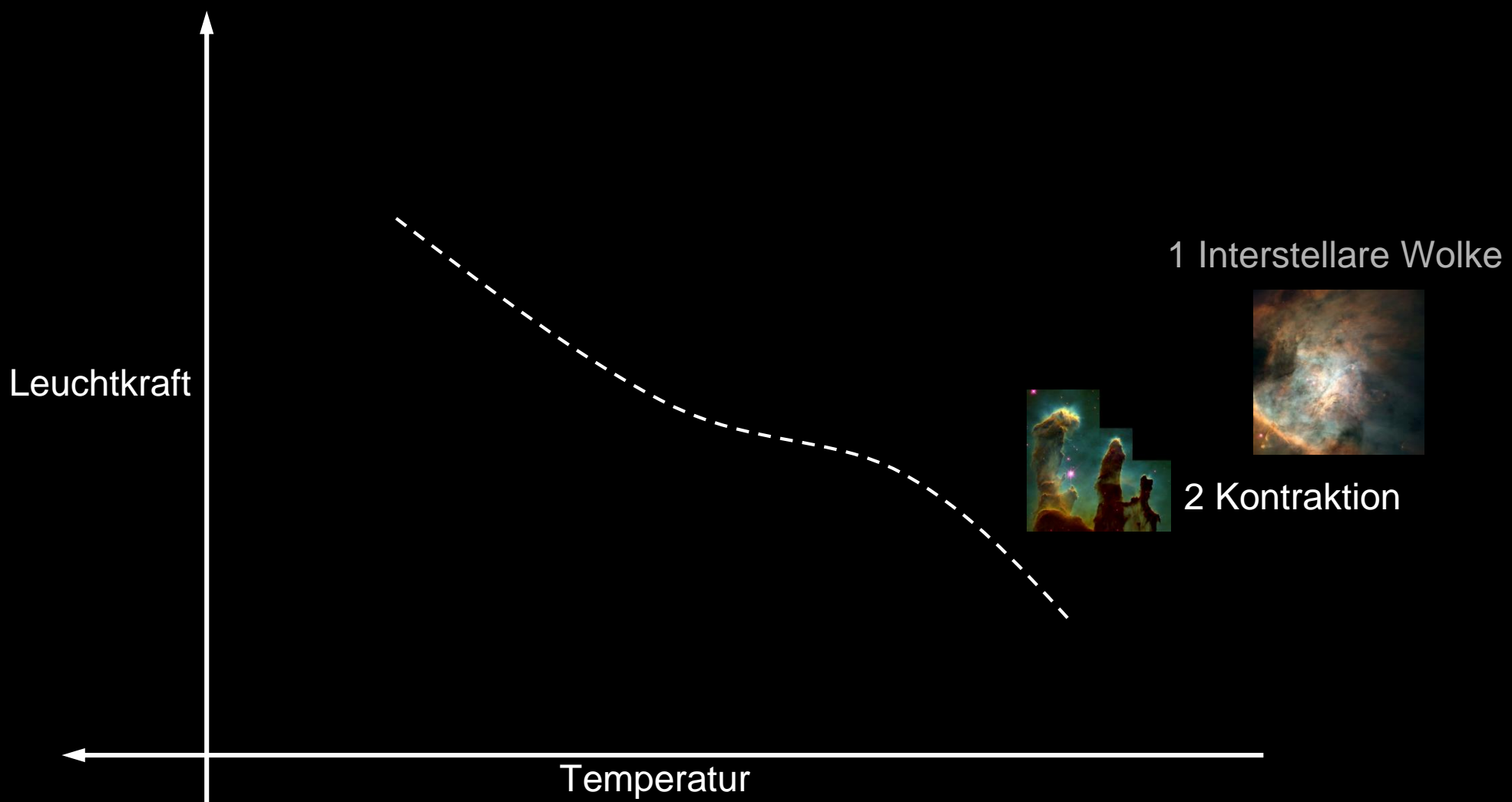


„Säulen der Schöpfung“  
in M16 (Adlernebel)

Bild: „Interstellar EGGS“ von NASA/ESA/STScI via [https://www.nasa.gov/multimedia/imagegallery/image\\_feature\\_252.html](https://www.nasa.gov/multimedia/imagegallery/image_feature_252.html)  
[Public Domain (PD-US-Gov)]

## 1. STERNENTSTEHUNG

### Stadium im HRD



Bilder: „Orion.nebula.arp.750pix“ von NASA, C.R. O'Dell and S.K. Wong (Rice University) via <https://commons.wikimedia.org/wiki/File:Orion.nebula.arp.750pix.jpg> [Public Domain (PD-US-Gov)],

„Interstellar EGGS“ von NASA/ESA/STScI via [https://www.nasa.gov/multimedia/imagegallery/image\\_feature\\_252.html](https://www.nasa.gov/multimedia/imagegallery/image_feature_252.html) [Public Domain (PD-US-Gov)]

Grafiken: S. Hanssen

## 1. STERNENTSTEHUNG

Sterne bilden sich aus interstellarer Materie:  
Gas und Staub

Orionnebel

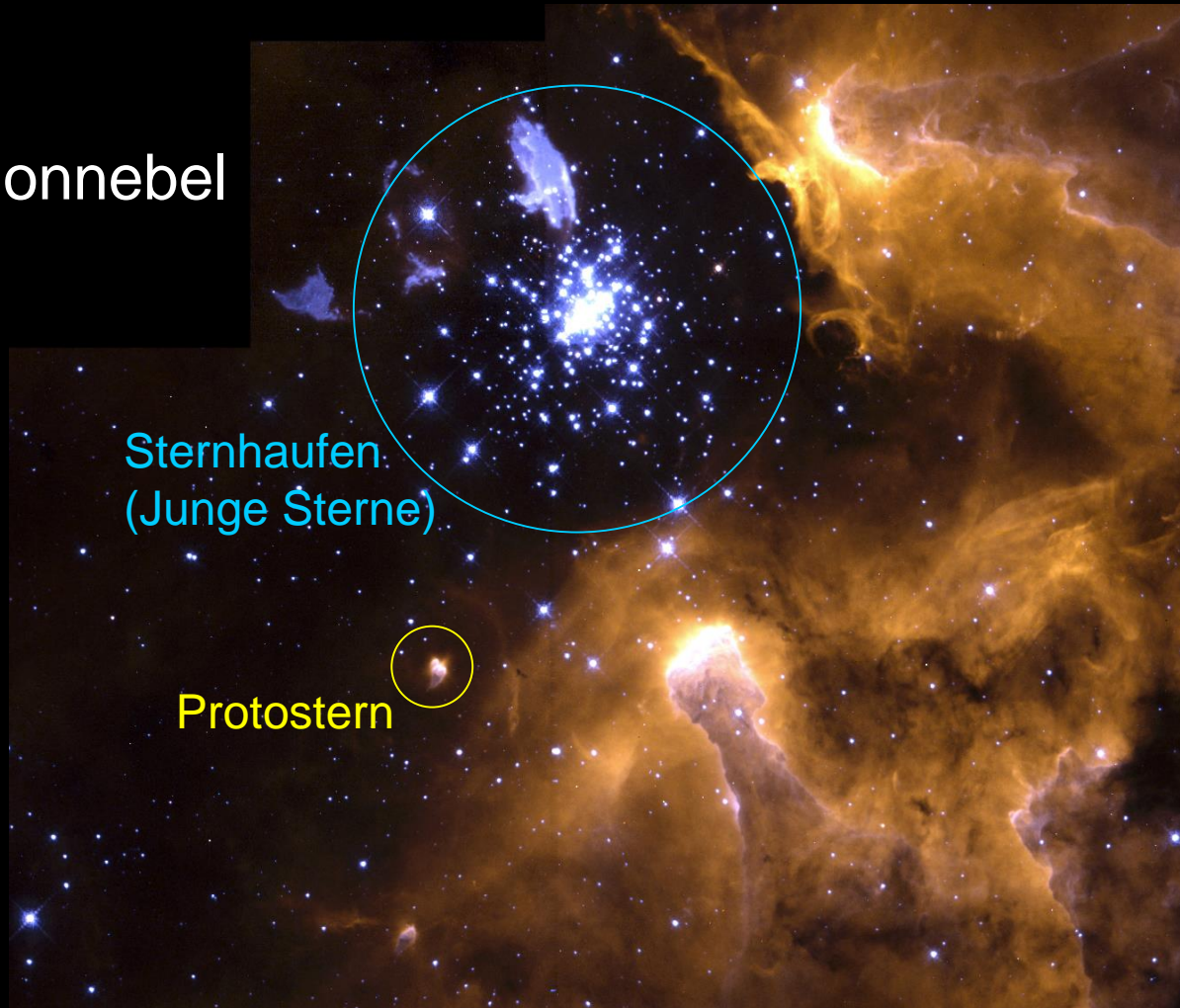


Bild: „Life Cycle of Stars - GPN-2000-000938“ von NASA, Wolfgang Brandner JPL-IPAC, Eva K. Grebel University via  
[https://commons.wikimedia.org/wiki/File:Life\\_Cycle\\_of\\_Stars\\_-\\_GPN-2000-000938.jpg](https://commons.wikimedia.org/wiki/File:Life_Cycle_of_Stars_-_GPN-2000-000938.jpg) [Public Domain (PD-USGov)], bearbeitet

## 1. STERNENTSTEHUNG

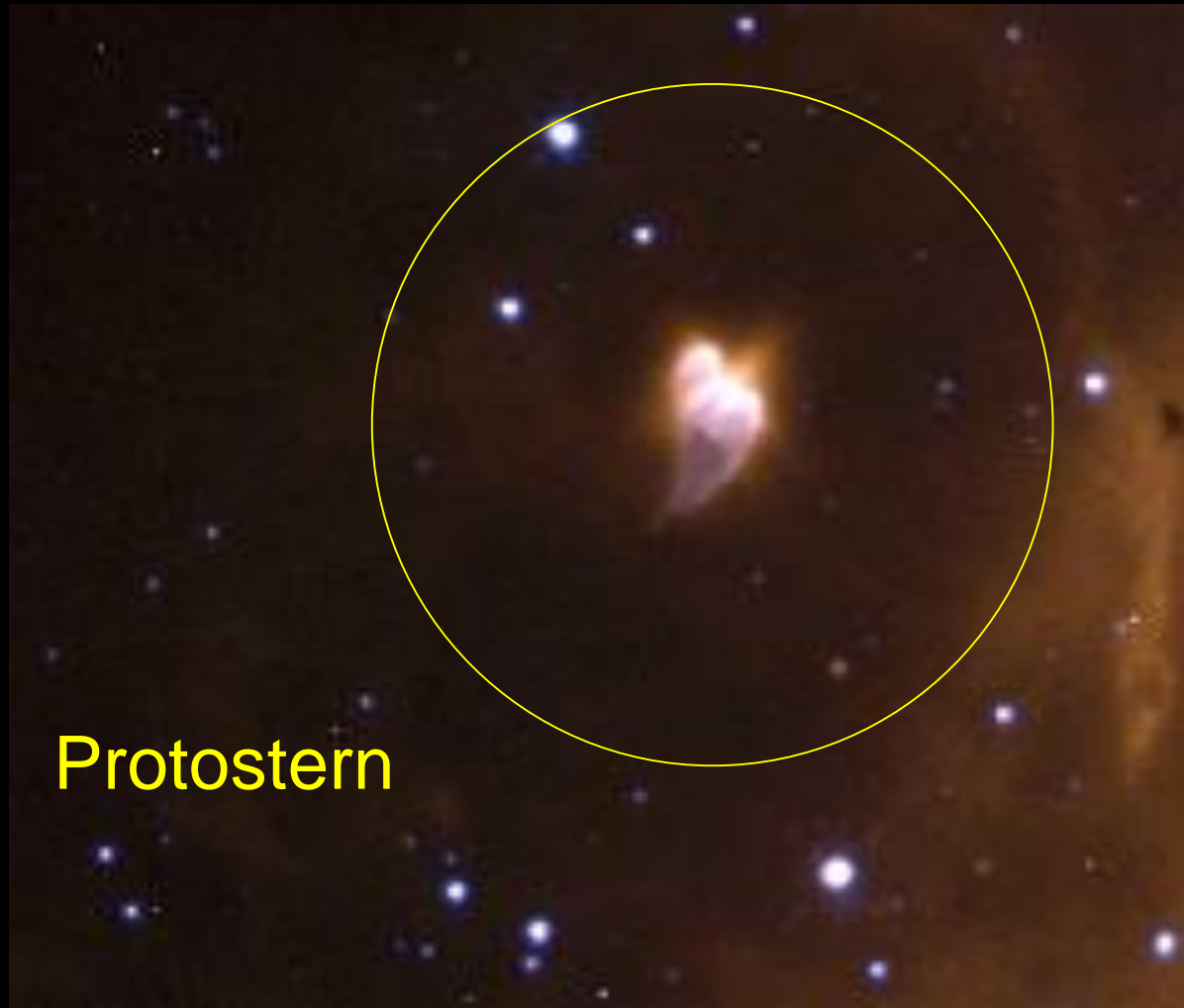


Bild: NASA

## 1. STERNENTSTEHUNG

Irregularität in der Wolke (z.B. durch Supernova):

Kontraktion und Zerfall der Wolke in Fragmente

Temperaturzunahme, ab 5 Mio. K Kernfusion

Kinderstuben aus Fragmenten: Junge Sternhaufen



Plejaden

Bild links: „Pleiades large“ von NASA, ESA, AURA/Caltech, Palomar Observatory via [https://commons.wikimedia.org/wiki/File:Pleiades\\_large.jpg](https://commons.wikimedia.org/wiki/File:Pleiades_large.jpg) [Public Domain (PD-USGov, ESA-Hubble)]

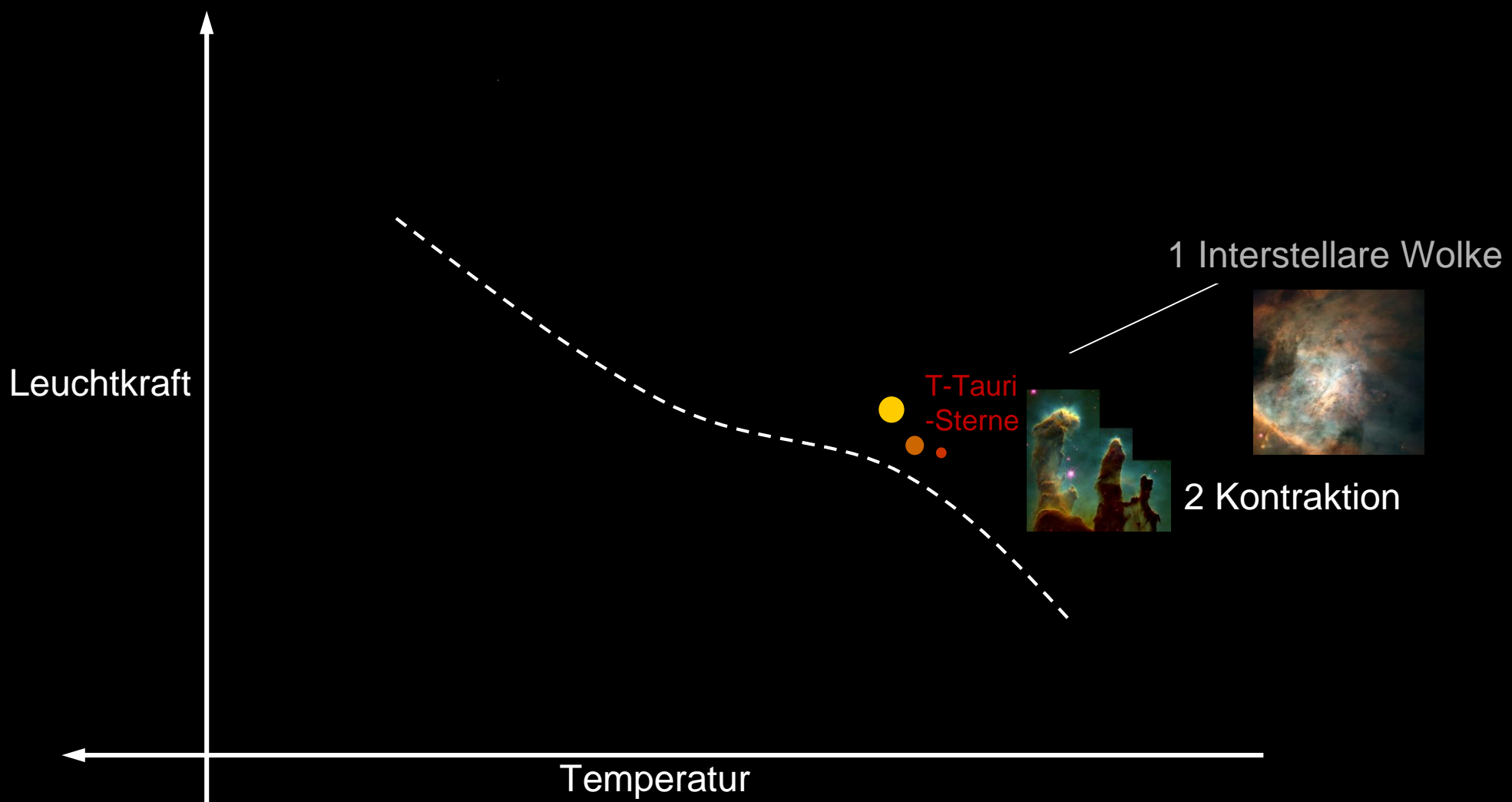


h & X Persei

Bild rechts: „Open clusters NGC 869 and NGC 884“ von Andrew Cooper [acooper@pobox.com](mailto:acooper@pobox.com) - Eigenes Werk [CC BY-SA 3.0] via <https://commons.wikimedia.org/w/index.php?curid=1449407>

## 1. STERNENTSTEHUNG

### Stadium im HRD



Bilder: „Orion.nebula.arp.750pix“ von NASA, C.R. O'Dell and S.K. Wong (Rice University) via <https://commons.wikimedia.org/wiki/File:Orion.nebula.arp.750pix.jpg> [Public Domain (PD-US-Gov)],

„Interstellar EGGS“ von NASA/ESA/STScI via [https://www.nasa.gov/multimedia/imagegallery/image\\_feature\\_252.html](https://www.nasa.gov/multimedia/imagegallery/image_feature_252.html) [Public Domain (PD-US-Gov)]

Grafiken: S. Hanssen

## 1. STERNENTSTEHUNG

### T-Tauri-Sterne



HL Tauri

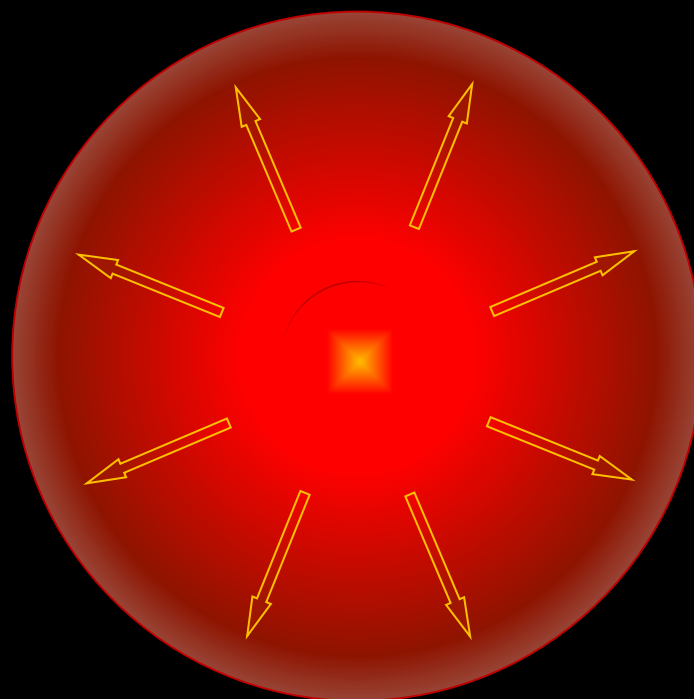
Junge Sterne, Alter < 1 Mio. a  
Spektralklasse F bis M.  
Zwischen 0,07 und 3 Sonnenmassen.  
Oberhalb der Hauptreihe: Kontrahieren  
Noch keine, oder erst seit kurzem  
Kernfusion.  
Noch kein hydrostatisches Gleichgewicht.  
Heftige Sternwinde stoßen umgebende  
Gashülle ab.  
Planetentstehung und Sternwinde  
lassen Akkretionsscheibe verschwinden.

Bild: ALMA image of the protoplanetary disc around HL Tauri von ALMA (ESO/NAOJ/NRAO) [CC-BY 4.0] via <https://commons.wikimedia.org/w/index.php?curid=36639982>

## 1. STERNENTSTEHUNG

Erfolg?

Fragmente mit weniger als 0,08 Sonnenmassen:



Gravitationsdruck zu gering

→ Kerntemperaturen < 1 Mio. K

→ Keine Fusionsprozesse

Schrumpft:

Umwandlung von  
Gravitationsenergie in  
Wärmeenergie

→ wird abgestrahlt

Grafiken: S. Hanssen

## 1. STERNENTSTEHUNG

Erfolg?

Fragmente mit weniger als 0,08 Sonnenmassen:

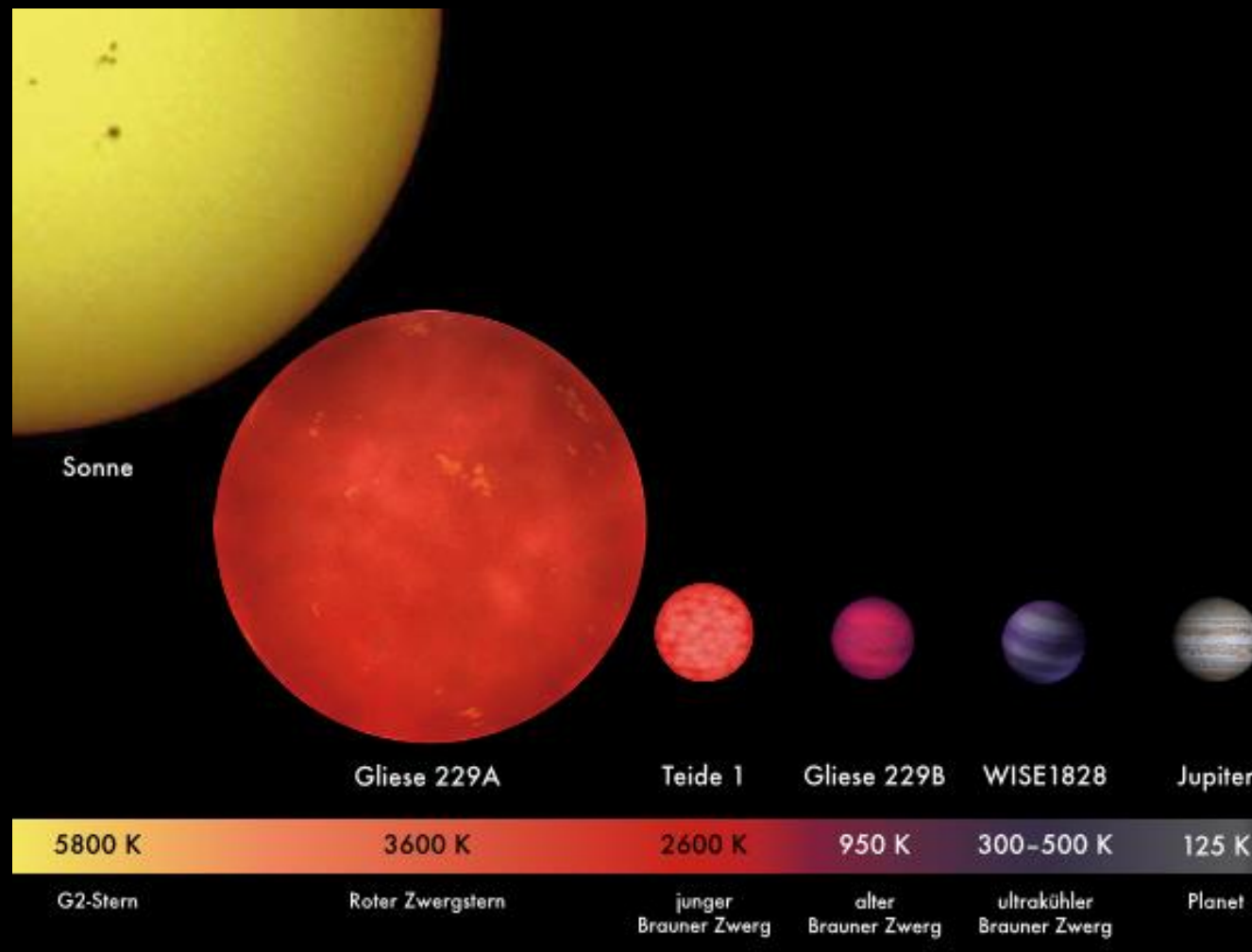
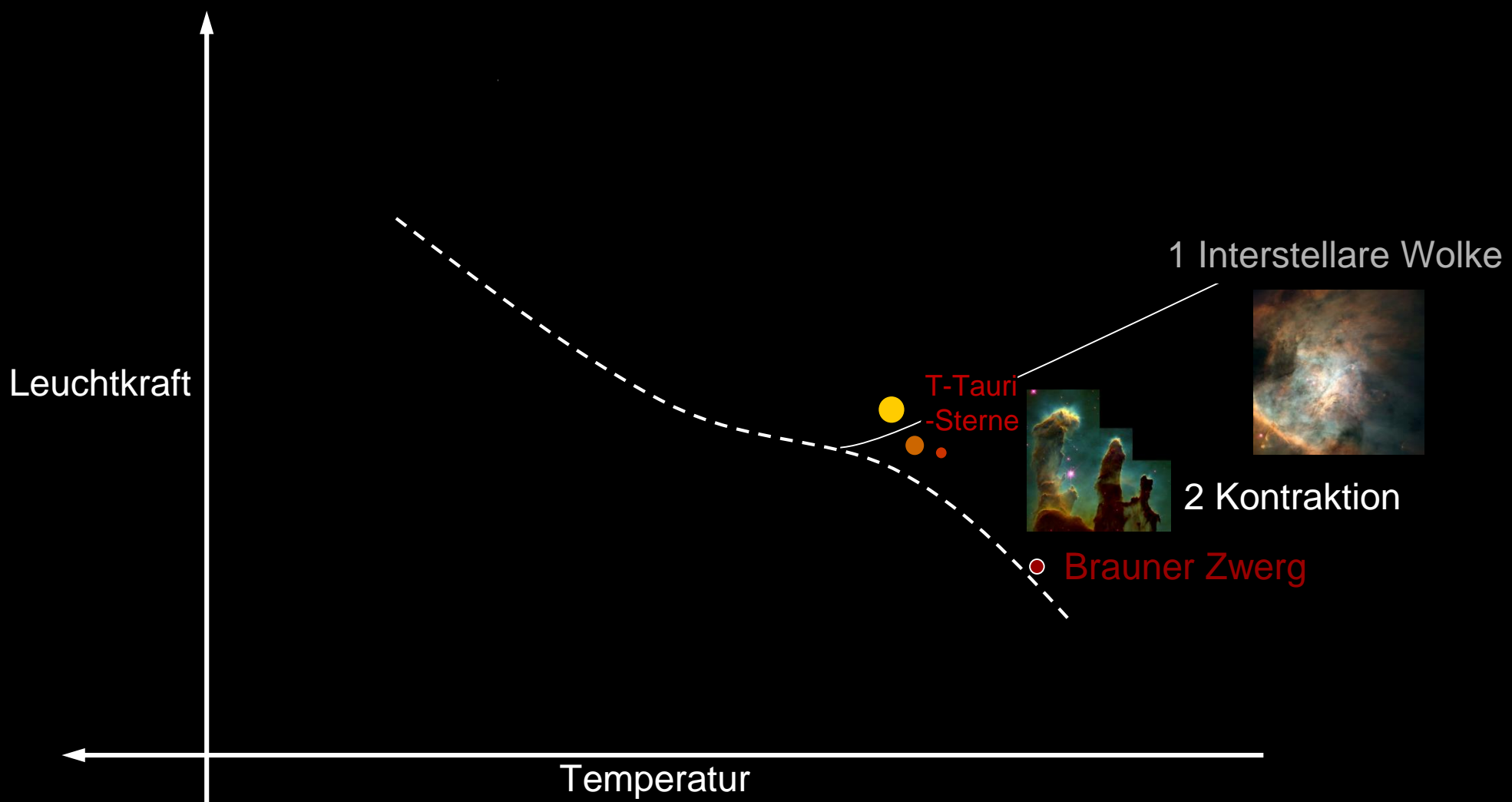


Bild: „BrownDwarfs Comparison 02 de“ von MPIA/V. Joergens [CC BY 3.0] via [https://commons.wikimedia.org/wiki/File:BrownDwarfs\\_Comparison\\_02\\_de.svg](https://commons.wikimedia.org/wiki/File:BrownDwarfs_Comparison_02_de.svg)

## 1. STERNENTSTEHUNG

## Stadium im HRD



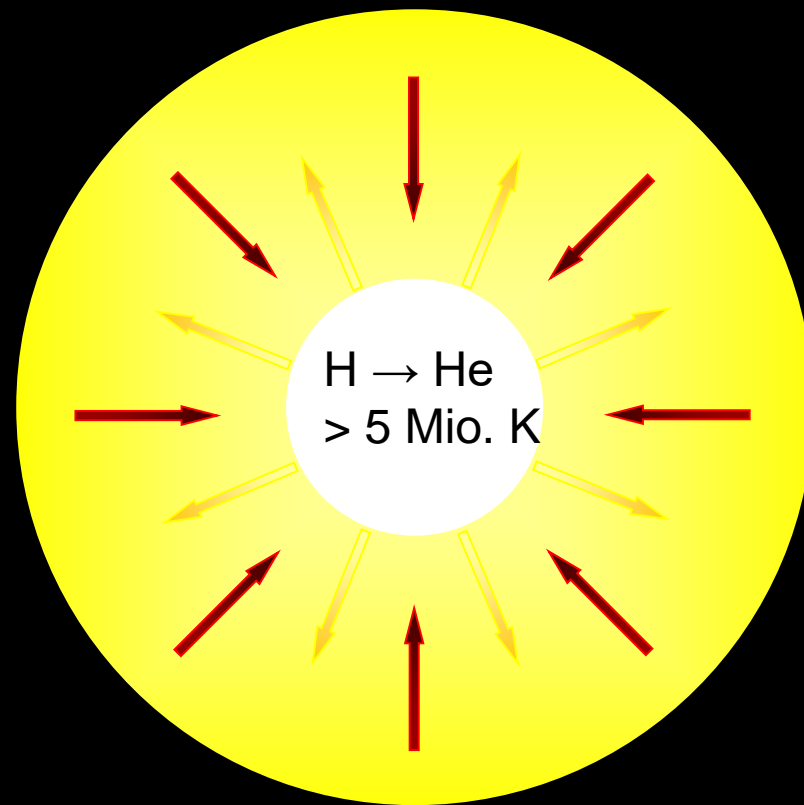
Bilder: „Orion.nebula.arp.750pix“ von NASA, C.R. O'Dell and S.K. Wong (Rice University) via <https://commons.wikimedia.org/wiki/File:Orion.nebula.arp.750pix.jpg> [Public Domain (PD-US-Gov)],

„Interstellar EGGS“ von NASA/ESA/STScI via [https://www.nasa.gov/multimedia/imagegallery/image\\_feature\\_252.html](https://www.nasa.gov/multimedia/imagegallery/image_feature_252.html) [Public Domain (PD-US-Gov)]

Grafiken: S. Hanssen

## 1. STERNENTSTEHUNG

Fragmente mit mehr als 0,08 Sonnenmassen



Gravitationsdruck erzeugt  
Kerntemperaturen > 5 Mio. K  
→ Kernfusion (H in He)  
→ Gasdruck

**Gravitationsdruck**  
=   
**Gasdruck**

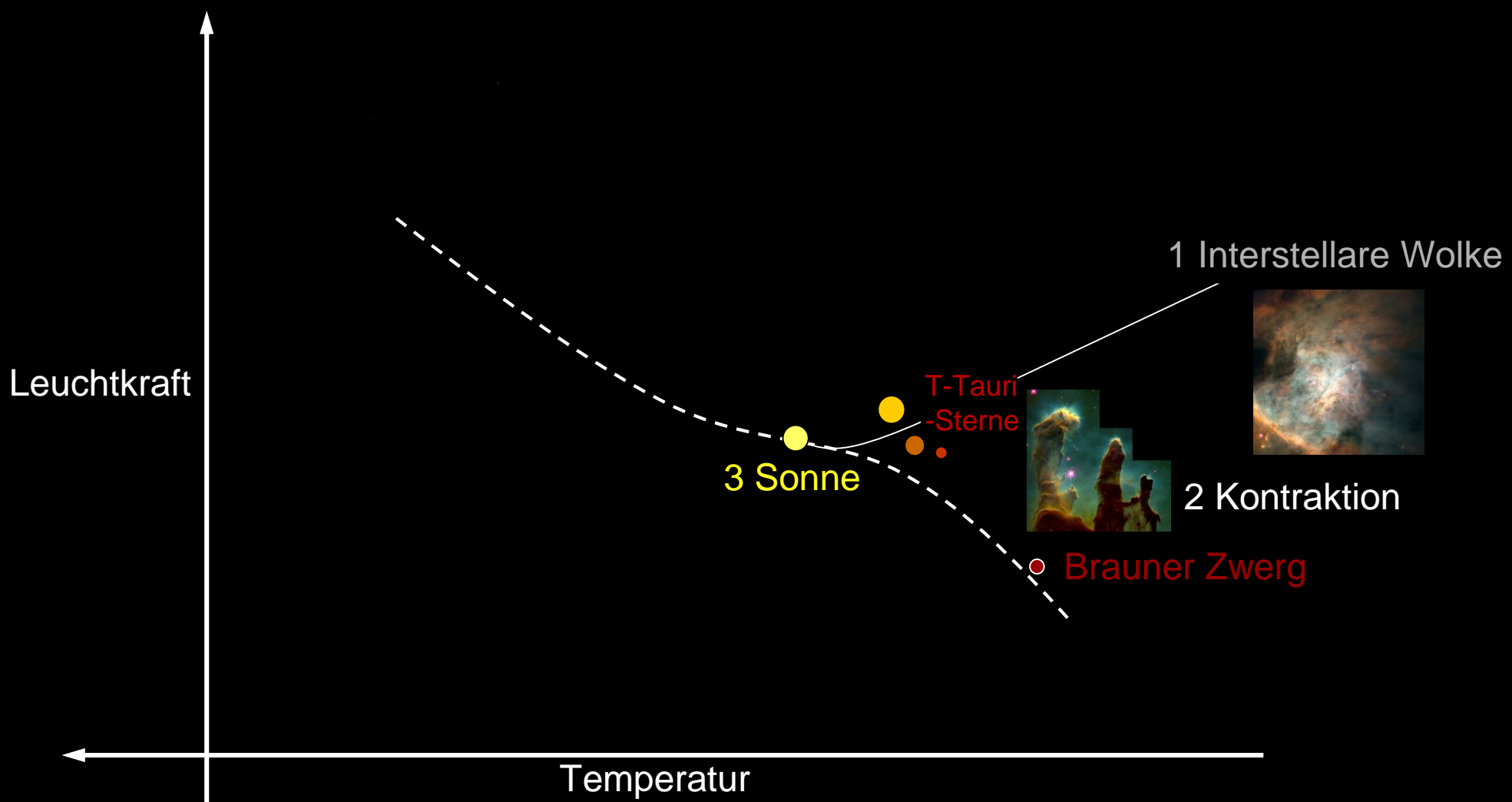
→ Hauptreihenstern

Dieser Zustand hält bei unserer Sonne seit 4,6 Milliarden Jahren und noch weitere 5,2 Milliarden Jahre an.

Grafiken: S. Hanssen

## 1. STERNENTSTEHUNG

## Stadium im HRD



Bilder: „Orion.nebula.arp.750pix“ von NASA, C.R. O'Dell and S.K. Wong (Rice University) via <https://commons.wikimedia.org/wiki/File:Orion.nebula.arp.750pix.jpg> [Public Domain (PD-US-Gov)],

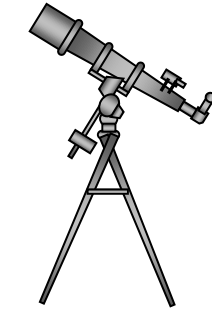
„Interstellar EGGS“ von NASA/ESA/STScI via [https://www.nasa.gov/multimedia/imagegallery/image\\_feature\\_252.html](https://www.nasa.gov/multimedia/imagegallery/image_feature_252.html) [Public Domain (PD-US-Gov)]

Grafiken: S. Hanssen

### 3.1.3 STERNE UND IHRE PLANETEN



**ASTRONOMIE  
WAHLFACH**

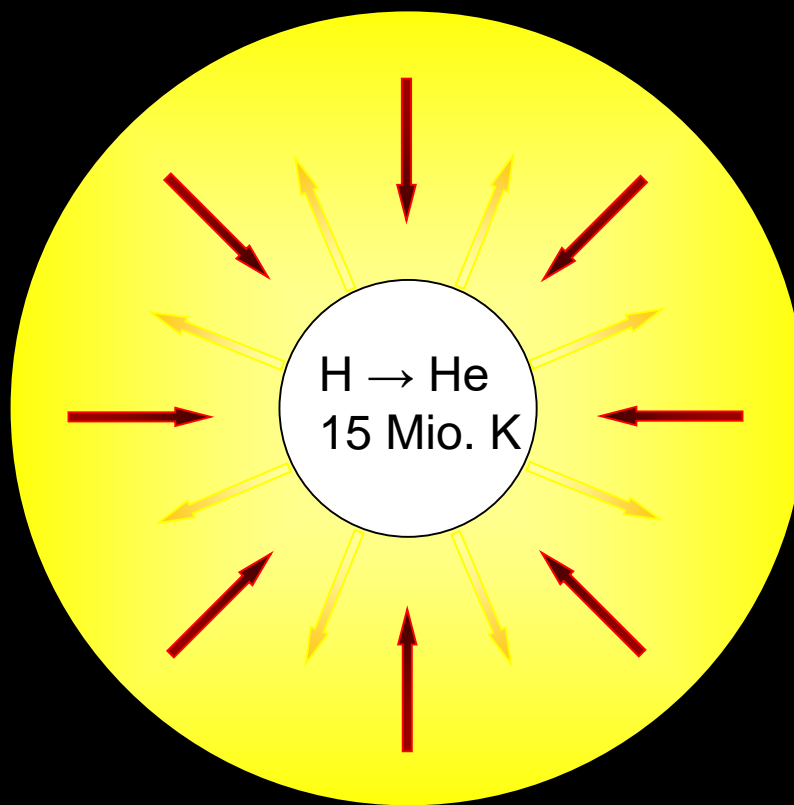


**ENDSTADIEN**

Grafiken: S. Hanssen

## 2. ENDSTADIEN DER STERNE

### 2.1 STERNE MIT SONNENMASSE



Unsere Sonne heute:

Kernfusion im Sonnenkern:



Kerntemperatur: 15,5 Mio. K

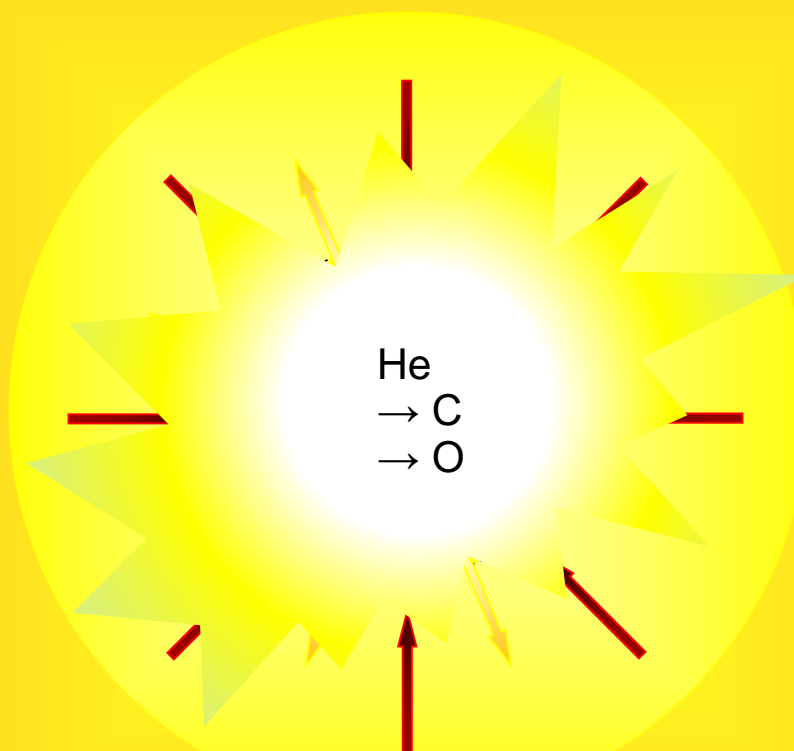
**Gravitationsdruck**  
=   
**Gasdruck**

Grafiken: S. Hanssen

## 2. ENDSTADIEN DER STERNE

## 2.1 STERNE MIT SONNENMASSE

# Roter Riese



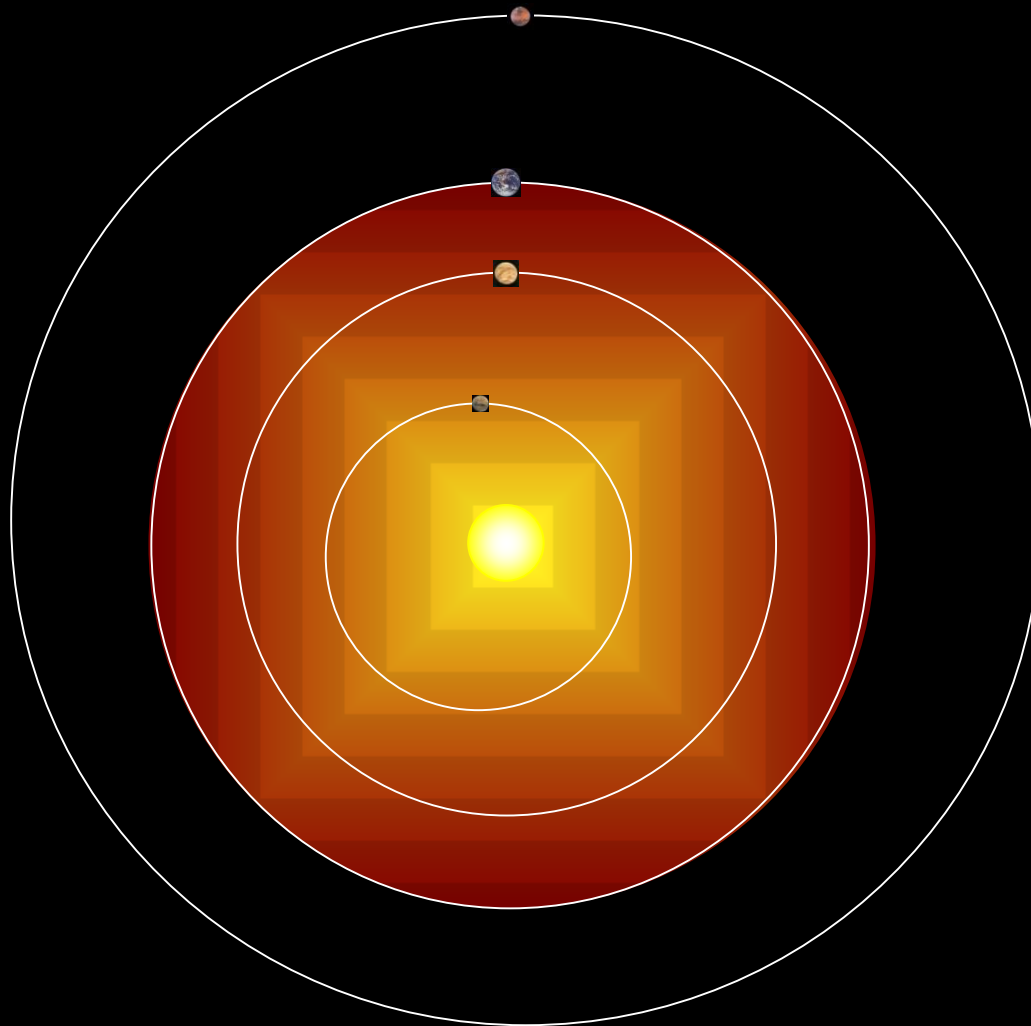
> 5,2 Mrd. Jahre:

- H – Vorrat im Kern verbraucht
- Kern schrumpft
- Kern entartet  
(keine Volumenzunahme trotz Temperaturerhöhung)
- Schalenbrennen (H in He)
- Stern dehnt sich aus
- Roter Riese
- Kern wird mit He aus der Schale gefüttert
- Helium-Flash im Kern
- Fusion im Kern: He zu C, O

Grafiken: S. Hanssen

## 2. ENDSTADIEN DER STERNE

### 2.1 STERNE MIT SONNENMASSE

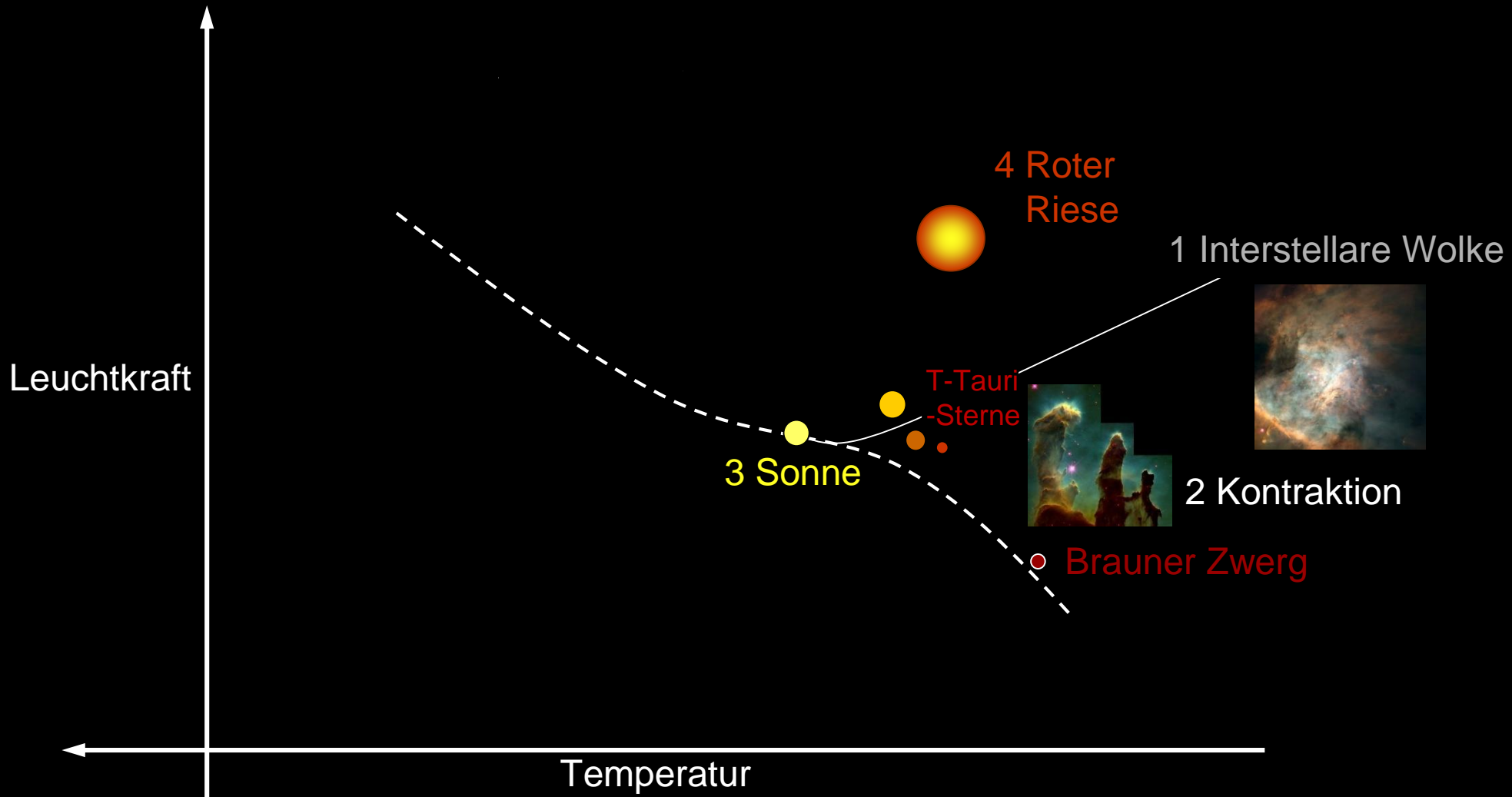


Bilder: NASA, Grafiken: S. Hanssen

## 2. ENDSTADIEN DER STERNE

### 2.1 STERNE MIT SONNENMASSE

Stadium im HRD



Bilder: „Orion.nebula.arp.750pix“ von NASA, C.R. O'Dell and S.K. Wong (Rice University) via <https://commons.wikimedia.org/wiki/File:Orion.nebula.arp.750pix.jpg> [Public Domain (PD-US-Gov)],

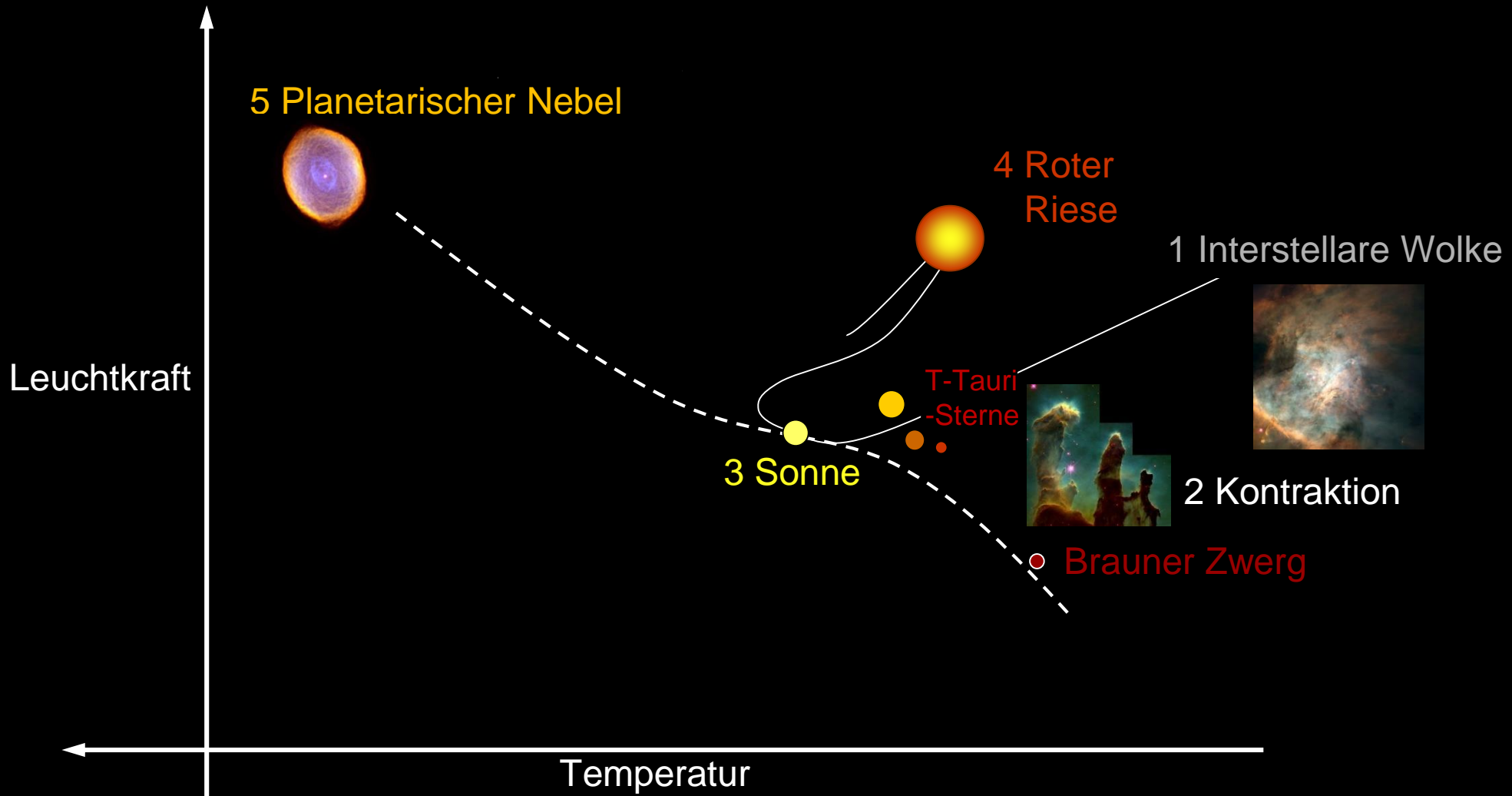
„Interstellar EGGS“ von NASA/ESA/STScI via [https://www.nasa.gov/multimedia/imagegallery/image\\_feature\\_252.html](https://www.nasa.gov/multimedia/imagegallery/image_feature_252.html) [Public Domain (PD-US-Gov)]

Grafiken: S. Hanssen

## 2. ENDSTADIEN DER STERNE

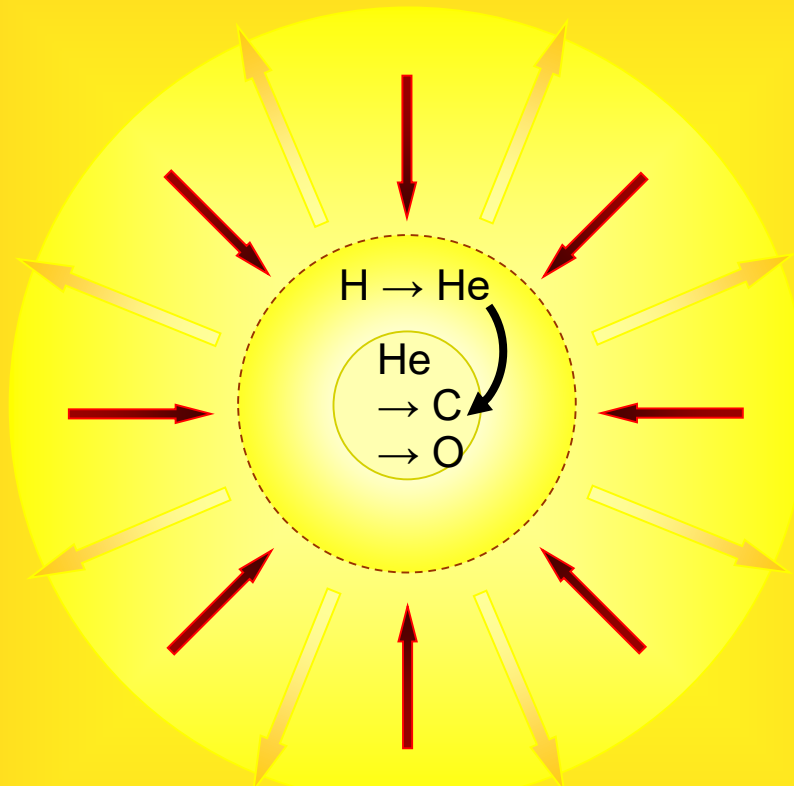
### 2.1 STERNE MIT SONNENMASSE

Stadium im HRD



Bilder: „Orion.nebula.arp.750pix“ von NASA, C.R. O'Dell und S.K. Wong (Rice University) via <https://commons.wikimedia.org/wiki/File:Orion.nebula.arp.750pix.jpg> [Public Domain (PD-US-Gov)]; „Interstellar EGGs“ von NASA/ESA/STScI via [https://www.nasa.gov/multimedia/imagegallery/image\\_feature\\_252.html](https://www.nasa.gov/multimedia/imagegallery/image_feature_252.html) [Public Domain (PD-US-Gov)]; „Spirograph Nebula - Hubble 1999“ von NASA and The Hubble Heritage Team (STScI/AURA) via [https://commons.wikimedia.org/wiki/File:Spirograph\\_Nebula\\_-\\_Hubble\\_1999.jpg](https://commons.wikimedia.org/wiki/File:Spirograph_Nebula_-_Hubble_1999.jpg) [Public Domain]; Grafiken: S. Hanssen

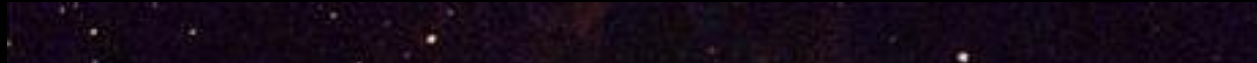
# Roter Riese



> 5,2 Mrd. Jahre:

- H – Vorrat im Kern verbraucht
  - ➔ Kern schrumpft
  - ➔ Kern entartet  
(keine Volumenzunahme trotz Temperaturerhöhung)
  - ➔ Schalenbrennen (H in He)
  - ➔ Stern dehnt sich aus
  - ➔ Roter Riese
  - ➔ Kern wird mit He aus der Schale gefüttert
  - ➔ Helium-Flash im Kern
  - ➔ Fusion im Kern: He zu C, O
  - ➔ Starke Sonnenwinde blasen Hülle weg
  - ➔ Planetarischer Nebel

Grafiken: S. Hanssen



Bilder:

„NGC 3132“ von Hubble Heritage Team (STScI/AURA/NASA/ESA) via [https://commons.wikimedia.org/wiki/File:NGC\\_3132.jpg](https://commons.wikimedia.org/wiki/File:NGC_3132.jpg) [Public Domain (PD-USGov)];

„NGC 6369HST“ von NASA and The Hubble Heritage Team (STScI/AURA) via [https://commons.wikimedia.org/wiki/File:NGC\\_6369HST.jpg](https://commons.wikimedia.org/wiki/File:NGC_6369HST.jpg) [Public Domain (PD-USGov)];

# Planetarische Nebel

Weißer Zwerg

“NGC6751” von NASA, The Hubble Heritage Team (STScI/AURA) via <https://commons.wikimedia.org/wiki/File:NGC6751.jpg> [Public Domain (PD-USGov)];

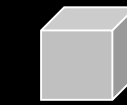
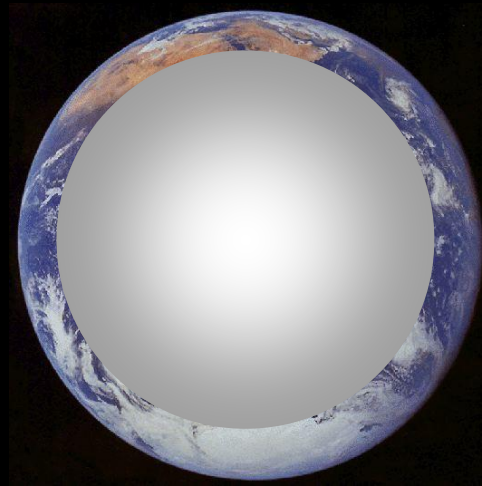
„IC 418: The Spirograph Nebula“ von NASA, ESA, and the Hubble Heritage Team (STScI/AURA); Acknowledgement: R. Sahai (JPL) et al. via <https://apod.nasa.gov/apod/ap100411.html> [Public Domain (PD-USGov)];

## 2. ENDSTADIEN DER STERNE

### 2.1 STERNE MIT SONNENMASSE

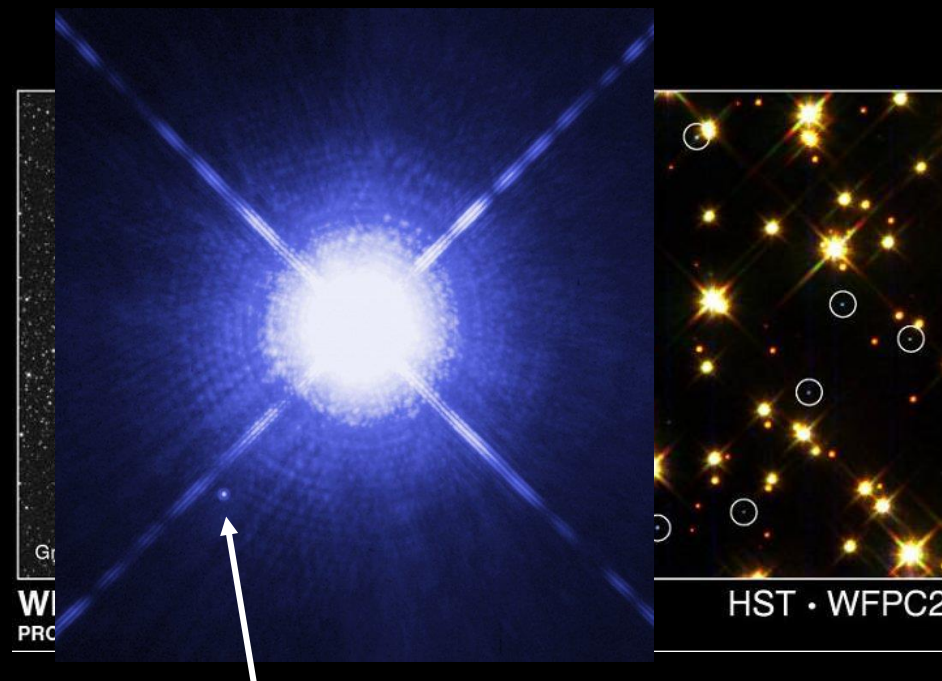
#### Weisse Zwerge

- Radius:  $\sim 5000$  km (vgl. Erde 6378 km)
- Dichte:  $10^6$  g/cm<sup>3</sup>



$1 \text{ cm}^3$

$m = 1 \text{ t}$



Z.B. Sirius B:  $R = 10\,000$  km

Temperatur 30 000 K

Masse ca.  $1 M_{\text{sonne}}$

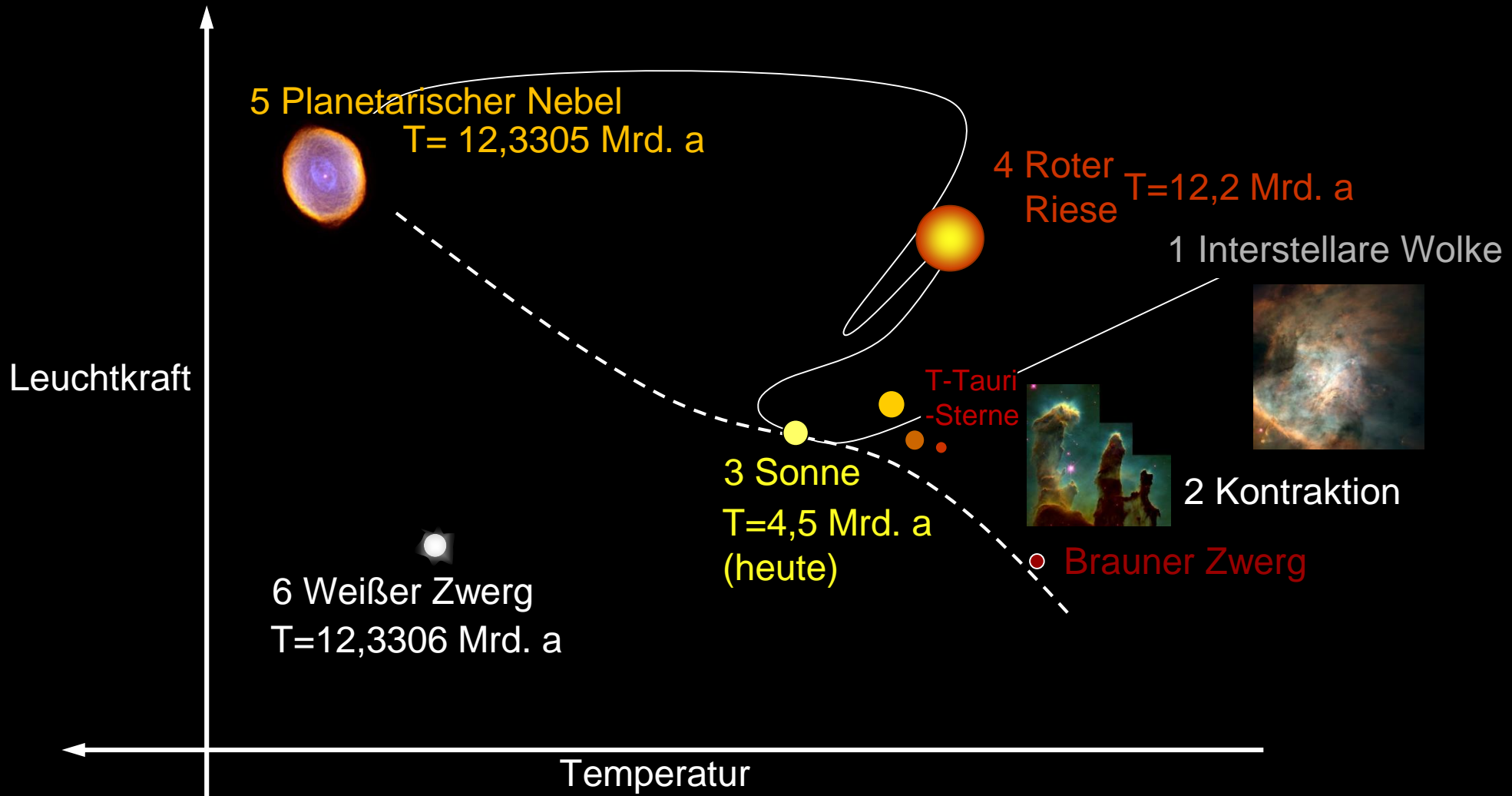
Dichte: 2000 g/cm<sup>3</sup> (Sonne: 1,5 g/cm<sup>3</sup>)

Bilder: „Earth“ von der NASA via [https://nssdc.gsfc.nasa.gov/photo\\_gallery/photogallery-earth.html](https://nssdc.gsfc.nasa.gov/photo_gallery/photogallery-earth.html) [Public Domain (PD-US-Gov)]; „Sirius A and B Hubble photo“ von NASA, ESA, H. Bond (STScI), and M. Barstow (University of Leicester) via [https://commons.wikimedia.org/wiki/File:Sirius\\_A\\_and\\_B\\_Hubble\\_photo.jpg](https://commons.wikimedia.org/wiki/File:Sirius_A_and_B_Hubble_photo.jpg) [CC BY 3.0]; „Optical Image (left) and a portion of the Hubble Space Telescope observation (right) of the globular cluster M4“ von der NASA via <https://imagine.gsfc.nasa.gov/science/objects/dwarfs1.html> [Public Domain (PD-US-Gov)]; Grafiken: S. Hanssen

## 2. ENDSTADIEN DER STERNE

### 2.1 STERNE MIT SONNENMASSE

Stadium im HRD

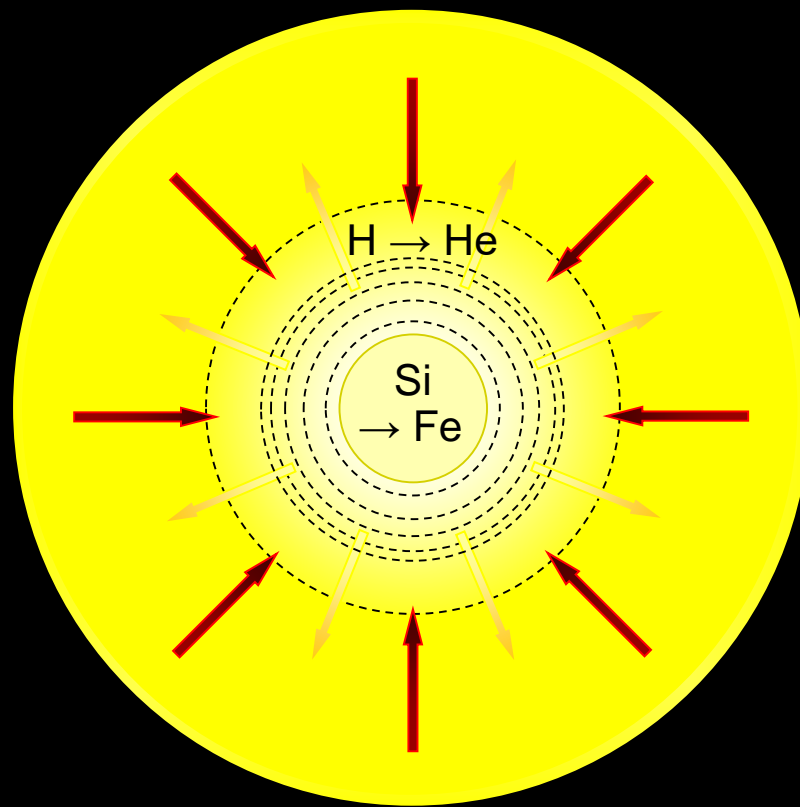


Bilder: „Orion.nebula.arp.750pix“ von NASA, C.R. O'Dell und S.K. Wong (Rice University) via <https://commons.wikimedia.org/wiki/File:Orion.nebula.arp.750pix.jpg> [Public Domain (PD-US-Gov)]; „Interstellar EGGs“ von NASA/ESA/STScI via [https://www.nasa.gov/multimedia/imagegallery/image\\_feature\\_252.html](https://www.nasa.gov/multimedia/imagegallery/image_feature_252.html) [Public Domain (PD-US-Gov)]; „Spirograph Nebula - Hubble 1999“ von NASA and The Hubble Heritage Team (STScI/AURA) via [https://commons.wikimedia.org/wiki/File:Spirograph\\_Nebula\\_-\\_Hubble\\_1999.jpg](https://commons.wikimedia.org/wiki/File:Spirograph_Nebula_-_Hubble_1999.jpg) [Public Domain]; Grafiken: S. Hanssen

## 2. ENDSTADIEN DER STERNE

## 2.2 STERNRESTE MIT EISENKERN UND ÜBER 1,2 SONNENMASSEN

# Überriese



Schalenbrennen ohne Entartung  
des Kerns:

Von Außen nach Innen:

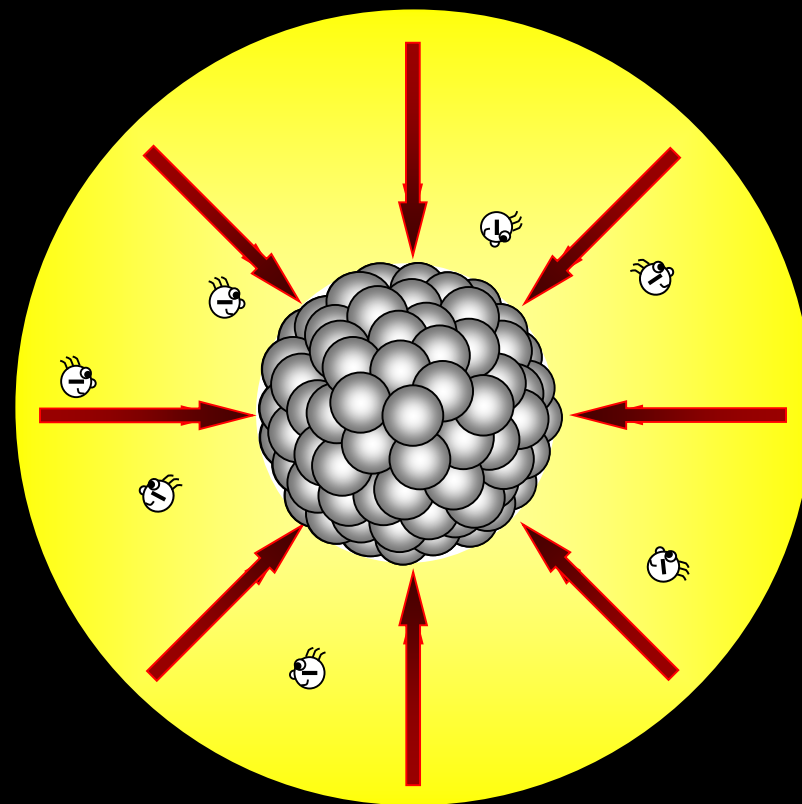
- $H \rightarrow He$
- $He \rightarrow C, O$
- $C \rightarrow N, Mg$
- $N \rightarrow O, Mg$
- $O \rightarrow Si$
- $Si \rightarrow Fe$

Grafiken: S. Hanssen

## 2. ENDSTADIEN DER STERNE

### 2.2 STERNRESTE MIT EISENKERN UND ÜBER 1,2 SONNENMASSEN

KERN:



Fusionsvorräte im Kern verbraucht

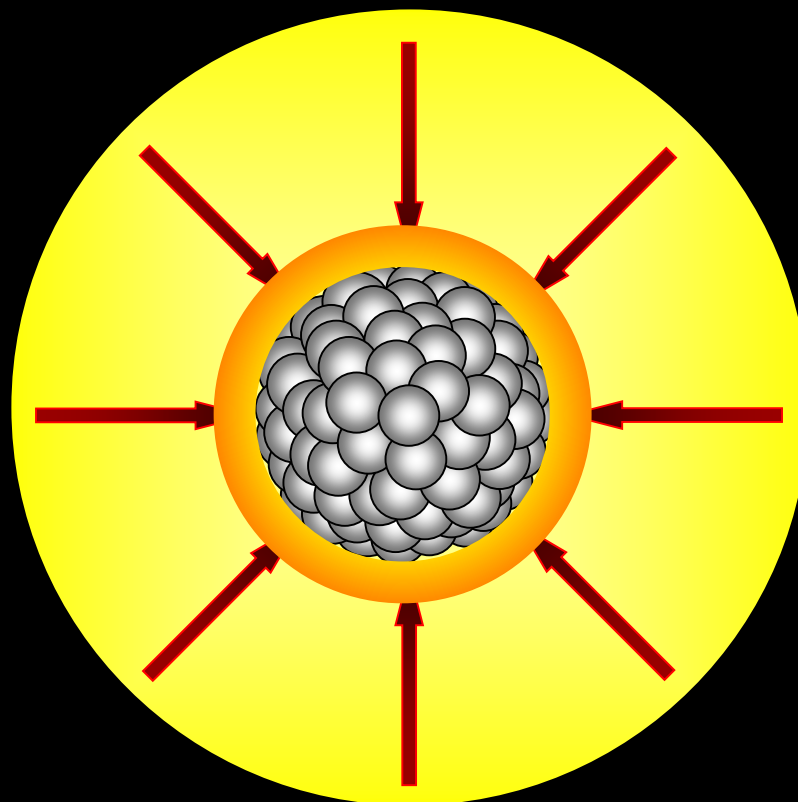
- Kern kühlt ab
- Gravitationsdruck so gewaltig, dass Elektronen im Kern mit den Atomkernen reagieren
- Neutronenkugel

Grafiken: S. Hanssen

## 2. ENDSTADIEN DER STERNE

### 2.2 STERNRESTE MIT EISENKERN UND ÜBER 1,2 SONNENMASSEN

KERN:



Fusionsvorräte im Kern verbraucht

- Kern kühlt ab
- Gravitationsdruck so gewaltig, dass Elektronen im Kern mit den Atomkernen reagieren
- Neutronenkugel
- Riese fällt zusammen
- In äußereren Schichten entstehen in endothermen Fusionsprozessen auch Produkte größerer Ordnungszahlen als Eisen (z.B. Uran), prallen auf die neutronisierte Kugel und werden zurückgeschleudert.
- Supernova

Grafiken: S. Hanssen



# Supernovae

Bilder:

„Ngc2392“ von NASA, ESA, Andrew Fruchter (STScI), and the ERO team (STScI + ST-ECF) via  
[https://commons.wikimedia.org  
/wiki/File:Ngc2392.jpg](https://commons.wikimedia.org/wiki/File:Ngc2392.jpg)  
[Public Domain (PD-USGov)]

„Catseye-big“ von NASA, ESA, HEIC, and The Hubble Heritage Team (STScI/AURA) via  
[https://commons.wikimedia.org  
/wiki/File:Catseye-big.jpg](https://commons.wikimedia.org/wiki/File:Catseye-big.jpg)  
[Public Domain (PD-USGov)]

„MyCn18-crop“ von NASA, R. Sahai, J. Trauger (JPL), and The WFPC2 Science Team via  
[https://commons.wikimedia.org  
/wiki/File:MyCn18-crop.png](https://commons.wikimedia.org/wiki/File:MyCn18-crop.png)  
[Public Domain (PD-USGov)]

„SN1994D.jpg“ von NASA/ESA, The Hubble Key Project Team and The High-Z Supernova Search Team via  
[https://commons.wikimedia.org  
/wiki/File:SN1994D.jpg](https://commons.wikimedia.org/wiki/File:SN1994D.jpg)  
[CC BY 3.0]

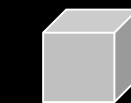
„Crab Nebula“ von NASA, ESA, J. Hester and A. Loll (Arizona State University) via  
[https://commons.wikimedia.org  
/wiki/File:Crab\\_Nebula.jpg](https://commons.wikimedia.org/wiki/File:Crab_Nebula.jpg)  
[Public Domain (PD-USGov)]

## 2. ENDSTADIEN DER STERNE

### 2.2 STERNRESTE MIT EISENKERN UND ÜBER 1,2 SONNENMASSEN

#### Neutronensterne

- Radius:  $\sim 10$  km
- Dichte:  $10^{14}$  g/cm<sup>3</sup>



1 cm<sup>3</sup>

$m = 100$  Mio. t

Bild links: „Stuttgart Stadtbezirke.svg“ von Franzpaul via  
[https://commons.wikimedia.org/wiki/File:Stuttgart\\_Stadtbezirke.svg](https://commons.wikimedia.org/wiki/File:Stuttgart_Stadtbezirke.svg)  
[CC BY-SA 3.0]



Vela Pulsar (Sternbild Segel)

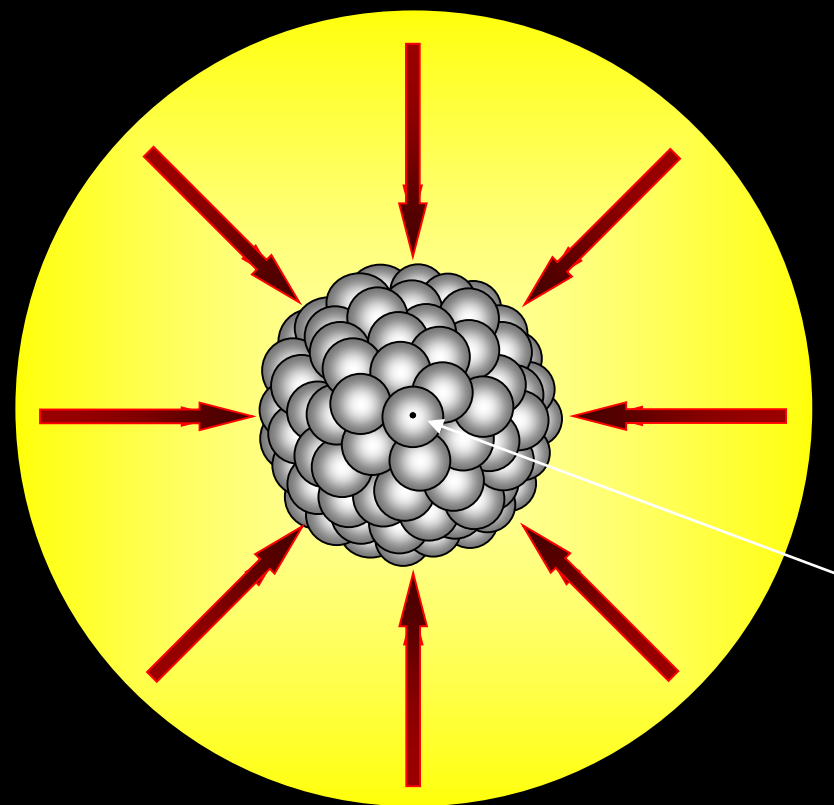
Bild rechts: „Vela Pulsar jet“ von NASA/CXC/PSU/G.Pavlov et al.  
via [https://commons.wikimedia.org/wiki/File:Vela\\_Pulsar\\_jet.jpg](https://commons.wikimedia.org/wiki/File:Vela_Pulsar_jet.jpg)  
[Public Domain (PD-USGov)]

Grafiken: S. Hanssen

## 2. ENDSTADIEN DER STERNE

### 2.3 STERNRESTE MIT ÜBER 3,2 SONNENMASSEN

KERN:



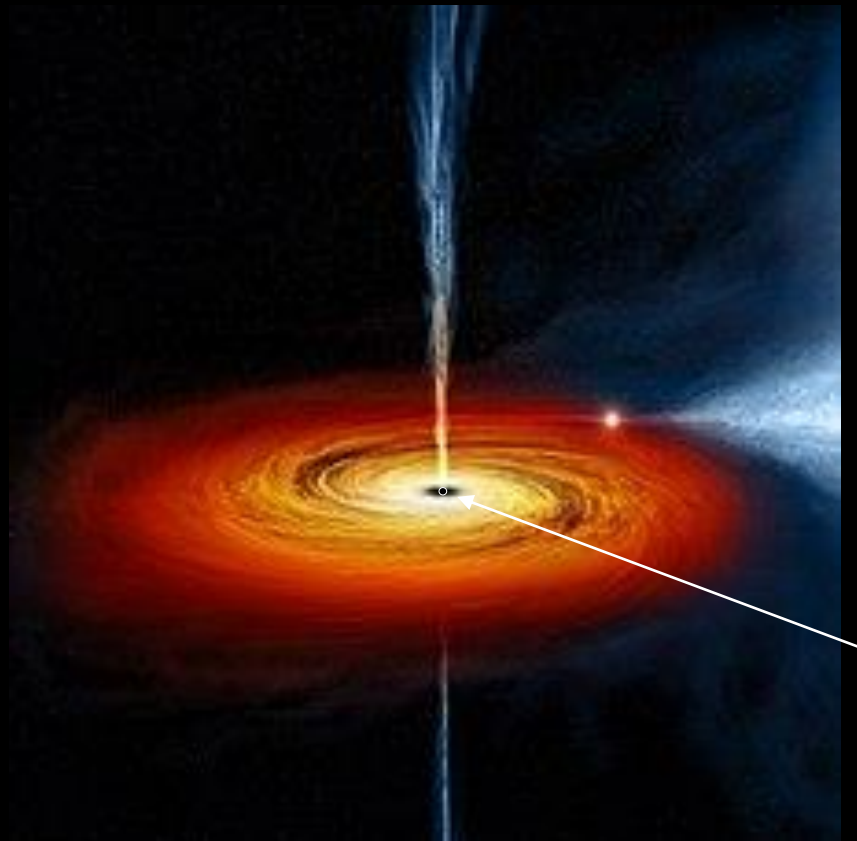
- Neutronendruck kollabiert im Gravitationsfeld
- Kontraktion geht weiter
- Gravitation so gewaltig, dass Licht nicht mehr entweichen kann.

Schwarzes Loch

Grafiken: S. Hanssen

## 2. ENDSTADIEN DER STERNE

### 2.3 STERNRESTE MIT ÜBER 3,2 SONNENMASSEN



- Negativer Druck kollabiert im Erststadium stäfiger Kandidat
- Kontraktionsphase Schwarzes
- Gravitation so gewaltig, dass Licht sie darstellen kann. entweichen kann.

Schwarzes Loch

Bild: "Black hole Cygnus X-1" von NASA/CXC/M.Weiss via  
<https://commons.wikimedia.org/w/index.php?curid=27481945>  
[Public Domain (PD-US(Gov))]

## 2. ENDSTADIEN DER STERNE

### 2.3 STERNRESTE MIT ÜBER 1,4 BZW. 3,2 SONNENMASSEN

Stadium im HRD

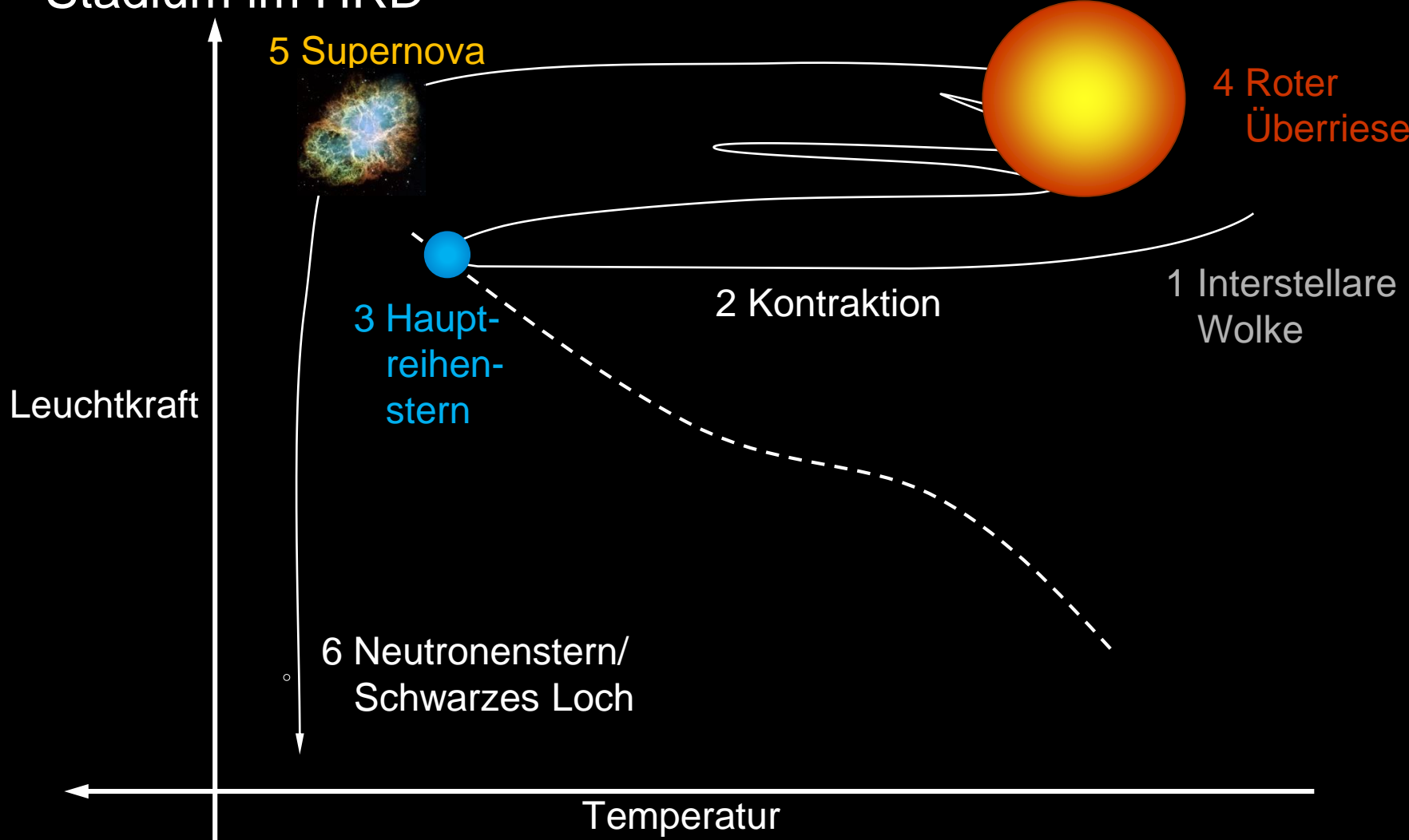


Bild: „Crab Nebula“ von NASA, ESA, J. Hester and A. Loll (Arizona State University) via  
[https://commons.wikimedia.org/wiki/File:Crab\\_Nebula.jpg](https://commons.wikimedia.org/wiki/File:Crab_Nebula.jpg) [Public Domain (PD-USGov)], Grafiken: S. Hanssen